

К ПОСТРОЕНИЮ РЕОЛОГИЧЕСКОЙ МОДЕЛИ КАВИТИРУЮЩИХ ДИСПЕРСНЫХ ЖИДКИХ СРЕД

УДК 532.135:532.528

С. В. Стебновский

Институт гидродинамики им. М. А. Лаврентьева, 630090 Новосибирск

В работе [1] было показано, что в процессе растяжения нагружаемых в импульсном режиме дисперсных жидких сред (эмульсий или суспензий) разрушению (фрагментации) среды предшествует стадия неограниченного роста кавитационных пузырьков при низких концентрациях дисперсной фазы или роста пор в случае высококонцентрированных суспензий (паст). Поэтому математическая модель импульсного разрушения дисперсных жидкостных сред должна учитывать и развитие кавитационного процесса, что сопряжено с весьма большими трудностями, так как известные математические модели пузырьковых суспензий [2–4] справедливы лишь для маловязких жидких матриц в диапазоне низких концентраций пузырьков α_0 без учета их взаимодействия. А согласно [5, 6], даже для маловязких жидкостей типа воды с ростом α_0 существенно увеличивается время релаксации сдвиговых напряжений в пузырьковой среде λ_0 так, что уже при $\alpha_0 = 0,8$ $\lambda_0 = \lambda_0(\alpha_0)/\lambda_0(\alpha_0 = 0) \simeq 10^4$, и среда приобретает вязкоупругие свойства. Но все концентрированные эмульсии и суспензии (в том числе и с маловязкими матрицами) имеют достаточно большие времена релаксации сдвиговых напряжений λ_1^0 для эмульсий и λ_2^0 для суспензий уже в исходном состоянии при $\alpha_0 = 0$ [1], т. е. до начала процесса растяжения среды. Следовательно, с ростом α_0 λ_1^0 и λ_2^0 должны увеличиваться, а растягиваемые среды — приобретать еще более выраженные упругие свойства.

Таким образом, в математической модели динамического разрушения дисперсных жидких сред необходимо учитывать эволюцию их вязкоупругих свойств в процессе трансформации морфологии сред, связанной с кавитационными процессами. В настоящей работе предлагается макрореологический подход к созданию физико-математической модели исследуемого процесса. При этом в рамках такого подхода построена механическая модель кавитирующих дисперсных жидких сред (ДЖС), справедливая в диапазоне α_0 от нуля до значений, соответствующих формированию ячеистых структур в дисперсной среде ($\alpha_0 > 0,9$), а также рассмотрена задача о влиянии присутствующих в ДЖС кавитационных пузырьков на ее вязкоупругие свойства.

1. Для построения реологической модели, кавитирующей при монотонном растяжении ДЖС, необходимо произвести анализ эволюции морфологии среды в процессе растяжения и составить адекватную ей на всех стадиях процесса механическую модель.

Пусть μ_0 — эффективная сдвиговая вязкость среды, G_1 и μ_1 — модуль сдвиговой упругости и сдвиговая вязкость дисперсной фазы (твердой в суспензиях и жидкой в эмульсиях). Тогда, если до начала растяжения ДЖС в ней с точностью до кавитационных зародышей отсутствуют пузырьки, т. е. $\alpha_0 \sim 0$, такую среду можно описать общепринятой в реологии механической моделью [7] (рис. 1, а) — последовательным соединением вязкого элемента μ_0 , соответствующего текучести среды, и узла Фойгта $G_1|\mu_1$, являющегося параллельным соединением вязкого μ_1 и упругого G_1 элементов и отвечающего вязкоупругим свойствам дисперсных элементов, обладающих ненулевой сжимаемостью.

В процессе течения жидкой матрицы происходит деформирование дисперсных эле-

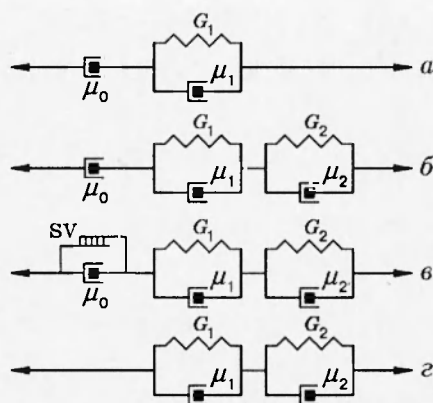


Рис. 1

ментов (в эмульсии сдвиговая упругость капля обусловлена межфазным натяжением на границе раздела капли и матрицы). По такой механической схеме в силу последовательного соединения вязкого элемента μ_0 и узла $G_1|\mu_1$ деформации жидкой матрицы и вязкоупругих дисперсных элементов складываются, а напряжения в матрице и дисперсных элементах равны.

Если к такой среде приложить растягивающее усилие, то в ней, как уже отмечалось, начнут из кавитационных зародышей, содержащихся в жидкой матрице и на границе с дисперсной фазой, расти кавитационные пузырьки или поры, и, таким образом, в среде появятся новые по фазе дисперсные элементы. А поскольку пузырьки привносят в среду дополнительную вязкость и упругость (вследствие упругости их формы), то в этом случае механическую схему среды необходимо дополнить вторым последовательно включенным узлом Фойгта $\mu_2|G_2$ (рис. 1, б), соответствующим вязкоупругим свойствам пузырьков.

Но если α_0 достигает, а затем и превышает концентрацию предельной упаковки пузырьков α_{0*} , то среда должна перейти в качественно новое реологическое состояние. Действительно, при $\alpha_0 = \alpha_{0*}$ все пузырьки вступают во взаимный контакт, и далее при $\alpha_0 > \alpha_{0*}$ вследствие их консолидации среда теряет свойство текучести, по крайней мере при малых сдвиговых деформациях, трансформируясь в пенообразный каркас. Согласно [8], статический модуль сдвига сухой пены ($\alpha_0 > 0,95$) можно оценивать по формуле $G \simeq \sigma S_0/3$, где σ — коэффициент поверхностного натяжения жидкости матрицы, S_0 — удельная поверхность ячеек пены (в случае водяной матрицы для сухой пены $G \sim 10^2$ Па).

Чтобы иметь более четкое представление о реологических характеристиках дисперсной среды при $\alpha_0 > 0,9$, т. е. когда в ней начинают формироваться ячейки пенообразной структуры, проанализируем результаты работы [9], в которой на теоретической модели исследуется поведение стационарных сухих пен (имеющих гомогенную жидкую матрицу) при сдвиговых деформациях. Если к образцу сухой пены, имеющей гексагональную структуру (рис. 2, а, штриховкой и точками отмечены контрольные ячейки), мгновенно приложить напряжение простого сдвига τ , то среда будет вести себя следующим образом (рис. 2 и 3 взяты из работы [9]). Вначале (при $\tau = 0$) среда имеет сотовую структуру с энергетически устойчивыми трехгранными узлами Плато (рис. 2, а'). Далее с увеличением τ до значений, соответствующих отметкам 2 и 3 на рис. 3, а, происходит упругая сдвиговая деформация ячеек, как это показано на рис. 2, б и 3 (на рис. 3 ϵ — деформация сдвига). Наконец, когда τ достигает некоторого порогового значения ($\tau = \tau^*$), происходит коалесценция ячеек с образованием энергетически неустойчивых ячеек (рис. 2, в) с четырехгранными узлами Плато

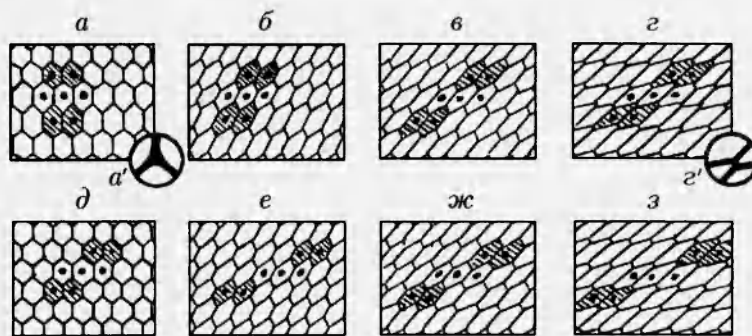


Рис. 2

(рис. 2, $г'$). Если при этом капиллярное число $Ca = \sqrt{3}(1 - \alpha_0)\mu_0 a \dot{\epsilon} / 4\sigma$ (a — характерный размер ячеек) меньше порогового значения $Ca^* \approx 2,7 \cdot 10^{-7}$, то, как приведено на рис. 2 и 3, $а$, где $Ca = 10^{-7}$, $\alpha_0 = 0,98$, система самопроизвольно переходит в состояние с более низким уровнем свободной энергии. Это состояние достигается перестройкой морфологии системы так, что снова формируются гексагональные ячейки (рис. 2, $д$) с трехгранными узлами Плато. Процесс сопровождается разгрузкой: напряжение падает до значения несколько ниже нулевого (рис. 3, $а$, точка 5). Вследствие этого происходит относительный сдвиг отмеченных штриховкой ячеек (рис. 2, $а \rightarrow д$). При дальнейшем растяжении ячеек процесс повторяется (рис. 3, $а$), т. е. график $\tau(\epsilon)$ имеет периодический характер.

Но если $Ca > Ca^*$, то, согласно данным [9], пульсации графика $\tau(\epsilon)$ сглаживаются (рис. 3, $б$ и $в$). Это объясняется тем, что при $Ca > Ca^*$ в процессе сдвиговой деформации ячеек не происходит коалесценции их границ и восстановления гексагональной формы с трехгранными узлами Плато, в отличие от случаев $Ca < Ca^*$ (рис. 2, $г, д$). Другими словами, при $Ca > Ca^*$ идет непрерывное относительное смещение ячеек, напоминающее пластическую деформацию в металлах, когда касательное напряжение превышает статический предел текучести и в среде происходит надбарьерное скольжение дислокаций.

Таким образом, детальный анализ результатов [9] позволяет сделать следующий вывод. Если в жидкой растягиваемой среде концентрация кавитационных пузырьков $\alpha_0 > 0,9$, то при сдвиговых напряжениях, меньших критической величины τ^* , среда теряет свойство текучести: происходит своего рода консолидация пузырьков в жидкой матрице, и среда ведет себя как твердый каркас. Если же $\tau > \tau^*$, то вследствие относительного сдвига ячеек (рис. 3) среда переходит в пластически-текущее состояние аналогично телу Бенгама.

С учетом вышеизложенного анализа механическая модель ДЖС (эмульсии или суспензии) (рис. 1, $б$), в которой вследствие ее растяжения кавитационные пузырьки монотонно растут до состояния пенной структуры ($\alpha_0 > 0,9$), должна быть дополнена параллельно соединенным с вязким элементом μ_0 пластически-текущим элементом Сен-Венана [7] (рис. 1, $в$). Такая среда при напряжениях сдвига меньше τ^* обладает свойством твердого тела: элемент схемы SV блокирует текучесть вязкого элемента μ_0 , и механическая модель сводится к схеме, приведенной на рис. 1, $г$. Если сдвиговое напряжение превысит τ^* , то структура среды, т. е. ее «жесткий каркас» из пены, разрушается (элемент схемы μ_0 разблокируется), и среда ведет себя как вязкоупругое текучее жидкостное тело (рис. 1, $б$). При этом упругость жидкости матрицы при реальных скоростях сдвиговых деформаций не учитывается.

В окончательном виде (рис. 1, $в$) механическая модель работает следующим образом. В исходном состоянии в силу малости размеров кавитационных зародышей ($10^{-3} \div 10^{-4}$ см)

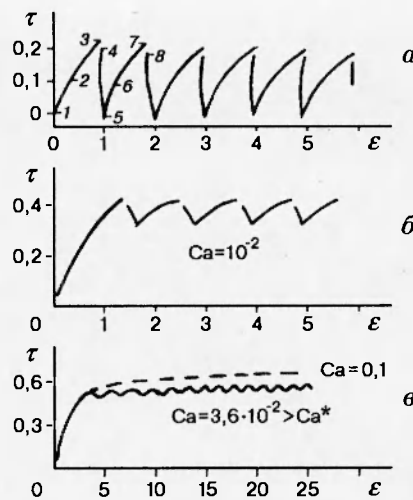


Рис. 3

их можно считать недеформирующимися (в смысле сдвиговых деформаций), т. е. при $\alpha_0 \rightarrow 0$ $G_2 \rightarrow \infty$, и в общей модели среды (рис. 1,б) узел $\mu_2|G_2$ можно не учитывать. При этом, естественно, среда обладает текучестью при любом τ , т. е. ввиду отсутствия пузырьков для нее сен-венаново предельное напряжение τ^* равно нулю, и механическая модель рис. 1,б вырождается в модель тела Олдройда (рис. 1,а), реологические характеристики которого зависят от концентрации и вязкоупругих свойств дисперсных элементов.

С увеличением α_0 G_2 убывает, вследствие чего в механической модели появляется узел $\mu_2|G_2$ (рис. 1,б). После того как α_0 достигнет значения предельной упаковки пузырьков α_{0*} , при $\alpha_0 > \alpha_{0*}$ пузырьки начинают вступать во взаимный контакт, т. е. формировать пенообразный ячеистый каркас [1], блокируя текучесть среды при малых сдвиговых напряжениях. Но если τ превышает пороговое напряжение τ^* , которое, как это можно заключить из рис. 3, зависит от α_0 , то в среде восстанавливается пластически-текучее свойство за счет смещения ячеек. Соответственно в механической модели среды при $\alpha_0 > \alpha_{0*}$ появляется элемент Сен-Венана SV (рис. 1,б), управляющий предельным напряжением сдвига (блокирующая текучесть среды) по закону

$$\tau^*(\alpha_0) = \begin{cases} 0 & \text{при } \alpha_0 < \alpha_{0*}, \\ f(\alpha_0) & \text{при } \alpha_0 \geq \alpha_{0*}. \end{cases} \quad (1.1)$$

2. Используя механическую модель кавитирующей ДЖС, можно (согласно методам теоретической реологии [7, 10]) вывести реологическое уравнение, связывающее в дифференциальной форме напряжения с деформациями через основные реологические константы среды, т. е. при $\mu_i = \text{const}$, $G_i = \text{const}$ для любой, но фиксированной объемной концентрации пузырьков α_0 .

Пусть P_{ij} и d_{ij} — тензоры напряжений и деформаций среды соответственно, а σ_{ij} и e_{ij} — девиаторы тензора напряжений и деформаций. Тогда, поскольку механическая модель среды (рис. 1,б) представляет собой последовательное соединение трех двухэлементных узлов ($\mu_0|SV$, $\mu_1|G_1$ и $\mu_2|G_2$), результирующий девиатор тензора деформаций среды e_{ij} равен сумме девиаторов тензоров деформаций: e_{ij}^0 узла $\mu_0|SV$, e_{ij}^1 узла $\mu_1|G_1$, e_{ij}^2 узла $\mu_2|G_2$. При этом девиатор тензора напряжений σ_{ij} будет одинаковым для всех трех узлов. В случае механической модели тела Бенгама по определению [7, 10], если обобщенное напряжение сдвига (интенсивность касательных напряжений) $\tau_i = [(1/2) \sigma_{ij} \sigma_{ij}]^{1/2}$

меньше Θ , то тело будет абсолютно твердым, т. е. $e_{ij} = 0$. Если же $\tau_i = \Theta$, то в среде начинается пластическое вязкое течение. Поскольку в узле $\mu_0|SV$ девиаторы тензоров напряжений в параллельных ветвях пластически-текучего элемента Сен-Венана и вязкой ньютоновской жидкости суммируются, то результирующий девиатор тензора напряжений этого узла запишем в виде

$$\sigma_{ij} = 2\eta_* \dot{e}_{ij}^0 + 2\mu_0 \dot{e}_{ij}^0, \quad (2.1)$$

где η_* (эффективный коэффициент вязкости вязкопластического элемента SV) является скалярной переменной величиной [7].

Аналогично для узлов $\mu_1|G_1$ и $\mu_2|G_2$, содержащих параллельно соединенные упругие (гуковы) и вязкие (ньютоновские) элементы, соответственно можно записать

$$\sigma_{ij} = 2G_1 e'_{ij} + 2\mu_1 \dot{e}'_{ij} \quad (2.2)$$

и

$$\sigma_{ij} = 2G_2 e''_{ij} + 2\mu_2 \dot{e}''_{ij}. \quad (2.3)$$

Поскольку, согласно механической модели среды (рис. 1, в),

$$e_{ij} = e_{ij}^0 + e'_{ij} + e''_{ij}, \quad (2.4)$$

то, переписав (2.1)–(2.3) в операторной форме и подставив из них значения e_{ij}^0 , e'_{ij} , e''_{ij} в (2.4), получим

$$e_{ij} = \frac{\sigma_{ij}}{\{2(\eta_* + \mu_0) \frac{\partial}{\partial t}\}} + \frac{\sigma_{ij}}{\{2(G_1 + \mu_1) \frac{\partial}{\partial t}\}} + \frac{\sigma_{ij}}{\{2(G_2 + \mu_2) \frac{\partial}{\partial t}\}} \quad (2.5)$$

или после преобразования

$$\begin{aligned} G_1 G_2 \sigma_{ij} + [G_1 \mu_2 + G_2 \mu_1 + G_2 \mu_0 + G_1 \mu_0 + (G_1 + G_2) \eta_*] \dot{\sigma}_{ij} + \\ + [\mu_1 \mu_2 + \mu_0 \mu_2 + \mu_0 \mu_1 + (\mu_1 + \mu_2) \eta_*] \ddot{\sigma}_{ij} = 2G_1 G_2 (\mu_0 + \eta_*) \dot{e}_{ij} + \\ + 2[\mu_0 \mu_2 G_1 + \mu_0 \mu_1 G_2 + (\mu_1 G_2 + \mu_2 G_1) \eta_*] \ddot{e}_{ij} + 2\mu_1 \mu_2 (\mu_0 + \eta_*) \ddot{e}_{ij}. \end{aligned} \quad (2.6)$$

С учетом того, что по принципу перехода пластического элемента SV через предельное напряжение сдвига Θ параллельно соединенный с ним вязкий элемент не оказывает влияния на достижение пластическим элементом значения Θ [10], полагая в (2.6) $\mu_0 = 0$, имеем

$$\begin{aligned} \{2[G_1 G_2 \dot{e}_{ij} + (\mu_1 G_1 + \mu_2 G_2) \ddot{e}_{ij} + \mu_1 \mu_2 \ddot{e}_{ij}] - (G_1 + G_2) \dot{\sigma}_{ij} - (\mu_1 + \mu_2) \ddot{\sigma}_{ij}\} \eta_* = \\ = G_1 G_2 \sigma_{ij} + (G_1 \mu_2 + G_2 \mu_1) \dot{\sigma}_{ij} + \mu_1 \mu_2 \ddot{\sigma}_{ij}. \end{aligned} \quad (2.7)$$

Согласно уравнению Мизеса [11], пластические деформации у пластически деформируемого тела появляются тогда, когда обобщенное касательное напряжение сдвига станет равным предельному значению

$$\tau_i = \left(\frac{1}{2} \sigma_{ij} \sigma_{ij} \right)^{1/2} = \Theta. \quad (2.8)$$

Если (2.7) умножить на σ_{ij} и подставить $\sigma_{ij} \sigma_{ij} = 2\Theta^2$ из (2.8) в (2.7), то с учетом того, что $\Theta (\alpha_0 = \text{const}) = \text{const}$, и, следовательно, согласно (2.8), $\sigma_{ij} \dot{\sigma}_{ij} = 0$, имеем

$$\begin{aligned} \{2[G_1 G_2 \dot{e}_{ij} + (\mu_1 G_2 + \mu_2 G_1) \ddot{e}_{ij} + \mu_1 \mu_2 \ddot{e}_{ij}] \sigma_{ij} - (\mu_1 + \mu_2) \ddot{\sigma}_{ij} \sigma_{ij}\} \eta_* = \\ = 2\Theta^2 G_1 G_2 + \mu_1 \mu_2 \ddot{\sigma}_{ij} \sigma_{ij}. \end{aligned} \quad (2.9)$$

Далее, поскольку $\sigma_{ij}\dot{\sigma}_{ij} = 0$, то $\sigma_{ij}\ddot{\sigma}_{ij} = d(\sigma_{ij}\dot{\sigma}_{ij})/dt - \dot{\sigma}_{ij}\dot{\sigma}_{ij} = -\dot{\sigma}_{ij}\dot{\sigma}_{ij}$, поэтому $\sigma_{ij}\sigma_{ij}\ddot{\sigma}_{ij} = -(\sigma_{ij}\dot{\sigma}_{ij})\dot{\sigma}_{ij} = 0$, с учетом чего, умножая (2.9) на σ_{ij} , получим

$$\eta_* = \frac{\Theta^2}{[\dot{\epsilon}_{ij} + (\lambda_1 + \lambda_2)\ddot{\epsilon}_{ij} + \lambda_1\lambda_2\ddot{\ddot{\epsilon}}_{ij}]\sigma_{ij}}, \quad (2.10)$$

где $\bar{\lambda}_1 = \mu_1/G_1$, $\bar{\lambda}_2 = \mu_2/G_2$ — характерные временные параметры среды. Разделив (2.6) на G_1G_2 , разрешив это уравнение относительно η_* и подставив в него вместо η_* выражение (2.10), после перегруппировки членов имеем реологическое уравнение ДЖС, содержащей кавитационные пузырьки в диапазоне фиксированных концентраций от кавитационных зародышей до ячеистой твердообразной структуры:

$$\sigma_{ij} + \left[\bar{\lambda}_1 + \bar{\lambda}_2 + \mu_0 \left(\frac{1}{G_1} + \frac{1}{G_2}\right)\right]\dot{\sigma}_{ij} + \left[\bar{\lambda}_1\bar{\lambda}_2 + \mu_0 \left(\frac{\bar{\lambda}_2}{G_1} + \frac{\bar{\lambda}_1}{G_2}\right)\right]\ddot{\sigma}_{ij} + \left[\frac{(\frac{1}{G_1} + \frac{1}{G_2})\dot{\sigma}_{ij} + (\frac{\bar{\lambda}_1}{G_2} + \frac{\bar{\lambda}_2}{G_1})\ddot{\sigma}_{ij}}{\dot{\epsilon}_{ij} + (\lambda_1 + \lambda_2)\ddot{\epsilon}_{ij} + \lambda_1\lambda_2\ddot{\ddot{\epsilon}}_{ij}} - 2\right] \frac{\Theta^2}{\sigma_{ij}} = 2\mu_0 [\dot{\epsilon}_{ij} + (\bar{\lambda}_1 + \bar{\lambda}_2)\ddot{\epsilon}_{ij} + \bar{\lambda}_1\bar{\lambda}_2\ddot{\ddot{\epsilon}}_{ij}]. \quad (2.11)$$

Как уже отмечалось, это уравнение справедливо при условии, что все его коэффициенты (μ_0 , μ_1 , μ_2 , G_1 , G_2 , Θ) не зависят от времени. Это может иметь место лишь в случае, когда в процессе деформаций α_0 остается постоянной величиной. (Значения объемной концентрации капель α_1 и твердых частиц α_2 при сохранении массы среды будут всегда постоянными.) Но поскольку девiator тензора деформаций e_{ij} включает в себе только изменение формы среды при постоянном объеме, то уравнение (2.11) описывает процесс деформаций среды без изменения α_0 , а следовательно, при деформациях, описываемых уравнением (2.11), реологические коэффициенты остаются константами.

Уравнение (2.11) можно свести к уравнению для чисто сдвиговых деформаций:

$$\tau + \left[\bar{\lambda}_1 + \bar{\lambda}_2 + \mu_0 \left(\frac{1}{G_1} + \frac{1}{G_2}\right)\right]\dot{\tau} + \left[\bar{\lambda}_1\bar{\lambda}_2 + \mu_0 \left(\frac{\bar{\lambda}_2}{G_1} + \frac{\bar{\lambda}_1}{G_2}\right)\right]\ddot{\tau} + \left[\frac{(\frac{1}{G_1} + \frac{1}{G_2})\dot{\tau} + (\frac{\bar{\lambda}_1}{G_2} + \frac{\bar{\lambda}_2}{G_1})\ddot{\tau}}{\dot{\epsilon} + (\lambda_1 + \lambda_2)\ddot{\epsilon} + \lambda_1\lambda_2\ddot{\ddot{\epsilon}}} - 1\right] \frac{\tau^{*2}}{\tau} = \mu_0 [\dot{\epsilon} + (\bar{\lambda}_1 + \bar{\lambda}_2)\ddot{\epsilon} + \bar{\lambda}_1\bar{\lambda}_2\ddot{\ddot{\epsilon}}]. \quad (2.12)$$

Здесь τ^* удовлетворяет условию (1.1); τ , ϵ — напряжение и деформация чистого сдвига соответственно; зависимость $\tau^* = f(\alpha_0 > \alpha_{0*})$ можно определить экспериментально.

Следует отметить, что, для того чтобы в случае суспензий G_1 , μ_0 не зависели от скорости деформирования среды, значение α_2 , согласно [12], не должно превышать 0,35. В случае эмульсий зависимости μ_0 , G_1 от скорости деформирования среды не наблюдается при любом значении α_1 [13]. Вопрос о зависимости μ_2 и G_2 от скорости деформирования требует специальных исследований экспериментальными методами. Поэтому ниже будем предполагать, что скорость сдвиговых деформаций в средах с $\alpha_0 > 0$ достаточно мала.

3. Рассмотрим некоторые частные решения уравнения (2.12), позволяющие анализировать реакцию ДЖС на различные возмущения ее состояния.

3.1. Объемная концентрация пузырьков $\alpha_0 > \alpha_{0*}$, и они образуют в среде ячеистый каркас, т. е. $\tau^* > 0$ (рис. 1, в). Для удобства анализа поведения исследуемой среды здесь и далее будем на нее воздействовать, как это принято в реологии, ступенчатым импульсным возмущением:

напряжением сдвига

$$\tau(t) = \tau_0 [U(t)], \quad [U(t)] = \begin{cases} 0, & t < 0, \\ 1, & t \geq 0 \end{cases} \quad (3.1)$$

или деформацией сдвига

$$\varepsilon(t) = \varepsilon_0 [U(t)], \quad [U(t)] = \begin{cases} 0, & t < 0, \\ 1, & t \geq 0. \end{cases} \quad (3.2)$$

А. $\tau = \tau_0 [U(t)] > \tau^*$, т. е. структурированная ДЖС обладает пластично-вязкоупругими свойствами, а уравнение (2.12) сводится к виду

$$\ddot{\varepsilon} + \frac{\lambda_2}{\alpha_2} \dot{\varepsilon} + \frac{1}{\alpha_2} \varepsilon = \left(1 - \frac{\tau^{*2}}{\tau_0^2}\right) \frac{\tau_0}{\mu_0 \alpha_2}, \quad (3.3)$$

где $\alpha_2 = \lambda_1 \lambda_2$; $\lambda_2 = \bar{\lambda}_1 + \bar{\lambda}_2$.

При начальных условиях $\varepsilon(t=0) = \varepsilon_0$, $\dot{\varepsilon}(t=0) = \dot{\varepsilon}_0$ уравнение (3.3) имеет общее решение

$$\begin{aligned} \varepsilon(t) = & \left[\varepsilon_0 + (\bar{\lambda}_1 + \bar{\lambda}_2) \dot{\varepsilon}_0 + \bar{\lambda}_1 \bar{\lambda}_2 \ddot{\varepsilon}_0 - (\bar{\lambda}_1 + \bar{\lambda}_2) \left(1 - \frac{\tau^{*2}}{\tau_0^2}\right) \frac{\tau_0}{\mu_0} \right] + \left(1 - \frac{\tau^{*2}}{\tau_0^2}\right) \frac{\tau_0}{\mu_0} t + \\ & + \frac{\ddot{\varepsilon}_0 \bar{\lambda}_1 \bar{\lambda}_2 (\bar{\lambda}_2 e^{-t/\bar{\lambda}_2} - \bar{\lambda}_1 e^{-t/\bar{\lambda}_1})}{\lambda_1 - \bar{\lambda}_2} + \frac{[\dot{\varepsilon}_0 - (1 - \tau^{*2}/\tau_0^2) \tau_0/\mu_0]}{\lambda_1 - \lambda_2} (\bar{\lambda}_2^2 e^{-t/\bar{\lambda}_2} - \bar{\lambda}_1^2 e^{-t/\bar{\lambda}_1}). \end{aligned} \quad (3.4)$$

Здесь второе слагаемое в правой части (т. е. $(1 - \tau^{*2}/\tau_0^2) \tau_0 t/\mu_0$) обусловлено текучестью среды (взаимным «проскальзыванием» ячеек, рис. 2, 3), которая тем интенсивнее, чем больше отношение τ_0/τ^* и меньше эффективная вязкость μ_0 ; третье и четвертое слагаемые в правой части описывают процесс запаздывания упругой деформации ДЖС с временами релаксации λ_1 и λ_2 . Запаздывания деформации обусловлены присутствием в среде упругих твердодисперсных элементов или капель ($\bar{\lambda}_1$) и пузырьков или ячеек ($\bar{\lambda}_2$). Следовательно, согласно (3.4), при $\tau_0 - \tau^* \rightarrow +0$ интенсивность пластично-вязкого течения полностью затухает, и среда вырождается в обобщенное вязко-упругое тело Фойгта (рис. 1,2).

Б. $\tau < \tau^*$. В этом случае элемент SV узла SV| μ_0 по определению является абсолютно твердым, блокируя элемент μ_0 , соответствующий вязкому течению, и среда, теряя свойство текучести, превращается в вязкоупругое «твердообразное» обобщенное тело Фойгта (рис. 1,2), т. е. жесткий ячеистый каркас. Если же к такой среде приложить напряжение чистого сдвига $\tau_0 < \tau^*$, то в силу однотипности узлов $\mu_1|G_1$ и $\mu_2|G_2$ деформации сдвига в них будут суммироваться и при $\varepsilon_0 = 0$, $\dot{\varepsilon}_0 = 0$ полная деформация сдвига, согласно [14], имеет вид

$$\varepsilon(t) = \tau_0 [J_1 (1 - e^{-t/\bar{\lambda}_1}) + J_2 (1 - e^{-t/\bar{\lambda}_2})], \quad (3.5)$$

где $J_i = 1/G_i$ ($i = 1, 2$) — податливость сдвигу. Таким образом, в среде сдвиговая деформация будет нарастать с запаздыванием, характеризующимся постоянными временами $\bar{\lambda}_1$ и $\bar{\lambda}_2$, зависящими от вязкоупругих свойств твердых частиц или капель ($\bar{\lambda}_1$) и пузырьков или ячеек (λ_2). Согласно (3.5), при $t \rightarrow \infty$ $\varepsilon(t) \rightarrow \tau_0 (J_1 + J_2)$.

В. $\varepsilon(t) = \varepsilon_0 [U(t)]$, где $\varepsilon_0 < \tau^* (J_1 + J_2)$ — мгновенная деформация ДЖС в режиме (3.2). Поскольку при этом элемент SV остается абсолютно твердым по определению, то, полагая в (2.5) $\eta_* \rightarrow \infty$, получим

$$\epsilon_{ij} = \sigma_{ij} / \left\{ 2 \left(G_1 + \mu_1 \frac{\partial}{\partial t} \right) \right\} + \sigma_{ij} / \left\{ 2 \left(G_2 + \mu_2 \frac{\partial}{\partial t} \right) \right\}$$

и (2.12) сводится к виду

$$\frac{\mu_1 + \mu_2}{G_1 G_2} \dot{\tau} + \left(\frac{1}{G_1} + \frac{1}{G_2} \right) \tau = \alpha_2 \ddot{\epsilon} + \lambda_2 \dot{\epsilon} + \epsilon,$$

или поскольку $\epsilon(t) = \epsilon_0 [U(t)]$, то

$$\dot{\tau} + \frac{G_1 + G_2}{\mu_1 + \mu_2} \tau = \frac{G_1 G_2}{\mu_1 + \mu_2} \epsilon_0.$$

Решение этого уравнения имеет экспоненциальный характер:

$$\tau = \tau_0 e^{-t/\bar{\lambda}} + \frac{\epsilon_0}{J_1 + J_2} (1 - e^{-t/\bar{\lambda}}). \quad (3.6)$$

Здесь $\bar{\lambda} = (\mu_1 + \mu_2)/(G_1 + G_2)$ — время релаксации сдвигового напряжения в ДЖС, зависящее от реологических параметров как дисперсных элементов, так и пузырьков. Но если дисперсные элементы абсолютно твердые, т. е. $G_1 \rightarrow \infty$, то из (3.6) имеем $\tau = G_2 \epsilon_0$: в этом случае ДЖС ведет себя как упругое тело Гука.

3.2. Объемная концентрация пузырьков $\alpha_0 < \alpha_{0*}$, т. е., согласно (1.1), $\tau^* = 0$: ДЖС является текущей средой при любом сдвиговом напряжении, и (2.12) сводится к виду

$$\tau + \lambda_1 \dot{\tau} + \alpha_1 \ddot{\tau} = \mu_0 (\dot{\epsilon} + \lambda_2 \dot{\epsilon} + \alpha_2 \ddot{\epsilon}), \quad (3.7)$$

где $\lambda_1 = (\mu_0 + \mu_1)/G_1 + (\mu_0 + \mu_2)/G_2$; $\alpha_1 = (\mu_0 \mu_1 + \mu_0 \mu_2 + \mu_1 \mu_2)/G_1 G_2$.

Рассмотрим два режима возмущения такой среды.

А. $\tau = \tau_0 [U(t)]$. В этом случае (3.7) сводится к виду

$$\ddot{\epsilon} + \frac{\lambda_2}{\alpha_2} \dot{\epsilon} + \frac{1}{\alpha_2} \epsilon = \frac{\tau_0}{\mu_0 \alpha_2}$$

и при начальных условиях $\epsilon(t=0) = \epsilon_0$, $\dot{\epsilon}(t=0) = \dot{\epsilon}_0$, $\ddot{\epsilon}(t=0) = \ddot{\epsilon}_0$ имеет решение

$$\begin{aligned} \epsilon(t) = & (\epsilon_0 + \lambda_2 \dot{\epsilon}_0 + \alpha_2 \ddot{\epsilon}_0 - \lambda_2 \frac{\tau_0}{\mu_0}) + \frac{\tau_0}{\mu_0} t - \\ & - \frac{\bar{\lambda}_1^2 (\bar{\lambda}_2 \ddot{\epsilon}_0 + \dot{\epsilon}_0 - \frac{\tau_0}{\mu_0})}{\lambda_1 - \lambda_2} e^{-t/\bar{\lambda}_1} + \frac{\bar{\lambda}_2^2 (\bar{\lambda}_1 \ddot{\epsilon}_0 + \dot{\epsilon}_0 - \frac{\tau_0}{\mu_0})}{\lambda_1 - \lambda_2} e^{-t/\bar{\lambda}_2}. \end{aligned} \quad (3.8)$$

Отсюда следует, что при нагружении возмущением (3.1) ДЖС с фиксированной концентрацией неконсолидированных пузырьков ($\alpha_0 < \alpha_{0*}$) сдвиговая деформация среды будет определяться текучестью среды (слагаемое $\tau_0 t/\mu_0$), более интенсивной, чем в случае п. 3.1. А, а также запаздыванием упругой деформации, обусловленным присутствием в среде дисперсных элементов и пузырьков (третье и четвертое слагаемые в правой части (3.8)). Времена запаздывания λ_1 и $\bar{\lambda}_2$ определяются реологическими константами дисперсной фазы (μ_1, G_1) и пузырьков (μ_2, G_2).

Б. $\epsilon = \epsilon_0 [U(t)]$. Подставляя эту функцию в (3.7), получим уравнение

$$\ddot{\tau} + \frac{\lambda_1}{\alpha_1} \dot{\tau} + \frac{1}{\alpha_1} \tau = 0,$$

решение которого при $\tau(t=0) = \tau_0$, $\dot{\tau}(t=0) = \dot{\tau}_0$ имеет вид

$$\tau(t) = \left[\frac{\tau_0}{2} \left(1 + \frac{1}{\xi_1} \right) + \frac{\xi_2}{2\xi_1} \dot{\tau}_0 \right] e^{-t/\tilde{\lambda}_1} - \left[\frac{\tau_0}{2} \left(\frac{1}{\xi_1} - 1 \right) + \frac{\xi_2}{2\xi_1} \dot{\tau}_0 \right] e^{-t/\tilde{\tilde{\lambda}}_1}, \quad (3.9)$$

где

$$\xi_1 = \sqrt{|1 - 4\alpha_1/\lambda_1^2|}, \quad \xi_2 = 2\alpha_1/\lambda_1, \quad \tilde{\lambda}_1 = \xi_2/(1 - \xi_1), \quad \tilde{\tilde{\lambda}}_1 = \xi_2/(1 + \xi_1). \quad (3.10)$$

Используя (3.10), можно показать, что

$$\tilde{\lambda}_1 = \lambda_1' \left[1 + \frac{\lambda_1''}{\lambda_1'} \left(1 - \frac{\alpha_1}{\lambda_1 \lambda_1''} \right) + \frac{\alpha_1^2}{\lambda_1^3 \lambda_1''} \left(1 - \frac{2\alpha_1}{\lambda_1^2} \right) + \dots \right]. \quad (3.11)$$

Здесь

$$\lambda_1' = \frac{\mu_0 + \mu_1}{G_1}, \quad \lambda_1'' = \frac{\mu_0 + \mu_2}{G_2}, \quad \frac{\alpha_1}{\lambda_1 \lambda_1''} < 1, \quad \frac{2\alpha_1}{\lambda_1^2} < 1. \quad (3.12)$$

Из (3.9) следует, что в ДЖС, содержащей неконсолидированные пузырьки, при возмущении типа (3.2) сдвиговые напряжения релаксируют по экспоненциальному закону с постоянными временами релаксации $\tilde{\lambda}_1$ и $\tilde{\tilde{\lambda}}_1$, зависящими от реологических констант жидкой матрицы, дисперсной фазы и пузырьков.

Если $\alpha_0 \rightarrow 0$ при сохранении счетной концентрации пузырьков, то, как уже отмечалось, $G_2 \rightarrow \infty$, а поэтому $\alpha_1 \rightarrow 0$, $\alpha_2 \rightarrow 0$, $\lambda_2 \rightarrow \lambda_1$, $\lambda_1 \rightarrow \lambda_1'$ и (3.7) сводится к уравнению Олдройда [14]

$$\tau + \lambda_1' \dot{\tau} = \mu_0 (\dot{\epsilon} + \lambda_1 \ddot{\epsilon}), \quad (3.13)$$

описывающему реологические свойства эмульсий и суспензий. Легко проверить, что при $\alpha_0 \rightarrow 0$ $G_2 \rightarrow \infty$, и решения (3.8), (3.9) уравнения (3.7) для ДЖС с пузырьками вырождаются в соответствующие решения уравнения (3.13):

$$\epsilon(t) = \epsilon_0 + \frac{\tau_0}{\mu_0} t - \bar{\lambda}_1 \left(\frac{\tau_0}{\mu_0} - \dot{\epsilon}_0 \right) (1 - e^{-t/\bar{\lambda}_1}), \quad \tau(t) = \tau_0 e^{-t/\lambda_1'}.$$

Поскольку в решении (3.9) $\tilde{\lambda}_1 > \tilde{\tilde{\lambda}}_1$, то второе слагаемое в его правой части убывает со временем быстрее, чем первое, и, таким образом, характер релаксации τ будет определяться постоянной времени $\tilde{\lambda}_1$. А согласно (3.11), $\tilde{\lambda}_1 > \lambda_1'$, следовательно, если в ДЖС (суспензию или эмульсию) ввести пузырьки с объемной концентрацией α_0 , то время релаксации сдвиговых напряжений в среде превышает соответствующее время релаксации в чистой эмульсии или суспензии. Согласно [6], чем больше α_0 , тем больше μ_2 и меньше G_2 , а значит, увеличивается λ_1'' и, согласно (3.11), $\tilde{\lambda}_1/\lambda_1'$, т. е. становится длиннее память среды и сильнее в ней должны проявляться упругие свойства.

Таким образом, в настоящей работе решена часть проблемы построения реологической модели кавитирующей ДЖС. Построена механическая модель растягиваемой ДЖС с неограниченным ростом кавитационных пузырьков от размеров зародышей до формирования гексагональной ячеистой структуры. Получено реологическое уравнение в дифференциальной форме, описывающее связь между сдвиговыми напряжениями и деформациями в ДЖС с фиксированной объемной концентрацией кавитационных пузырьков во всем реализуемом ее диапазоне.

Реологическое уравнение, соответствующее объемному растяжению ДЖС, т. е. случаю монотонно возрастающей объемной концентрации кавитационных пузырьков α_0 ,

должно содержать зависящие от $\alpha_0(t)$ и от скорости деформации реологические коэффициенты. Но для определения этих коэффициентов необходимы специально разработанные экспериментальные методики.

Работа выполнена при финансовой поддержке Российского фонда фундаментальных исследований (код проекта 93-013-16383).

ЛИТЕРАТУРА

1. **Стебновский С. В.** О поведении дисперсных жидких сред при динамических нагрузках // ПМТФ. 1994. Т. 35, № 5. С. 68–77.
2. **Иорданский С. В.** Об уравнениях движения жидкости, содержащей пузырьки газа // ПМТФ. 1960. № 3. С. 102–110.
3. **Biesheuvel A., Wijngaarden L.** Two-phase flow equation for a dilute dispersion of gas bubbles in liquid // J. Fluid Mech. 1984. V. 148. P. 301–318.
4. **Нигматулин Р. И.** Динамика многофазных сред. М.: Наука, 1987. Т. 1, 2.
5. **Стебновский С. В.** О механизме импульсного разрушения жидкого объема // ПМТФ. 1989. № 2. С. 126–132.
6. **Стебновский С. В.** Сдвиговая упругость жидких сред, содержащих пузырьки // Физика горения и взрыва. 1990. Т. 26, № 3. С. 127–128.
7. **Рейнер М.** Реология. М.: Наука, 1965.
8. **Путятин Б. В.** Уравнения гидродинамики пен // Изв. АН СССР. МЖГ. 1988. № 5. С. 91–95.
9. **Kraunik A. M., Hansen M. L.** Foam rheology: a model of viscous phenomena // J. Rheol. 1987. V. 31, N 2. P. 175–205.
10. **Тябин Н. В.** Реологическая кибернетика. Волгоград, 1977. Ч. 1.
11. **Мизес Р.** Механика твердых тел в пластическом деформированном состоянии // Теория пластичности. М.: Изд-во иностр. лит., 1948.
12. **Нильсен Л.** Механические свойства полимеров и полимерных композиций. М.: Химия, 1978.
13. **Pal R., Rhodes E.** Viscosity/concentration relationship for emulsions // J. Rheol. 1989. V. 33, N 7. P. 1021–1047.
14. **Уилкинсон У. Л.** Неньютоновские жидкости. М.: Мир, 1964.

Поступила в редакцию 7/II 1995 г.
